

Vonalkövető autó rendszermodellje

Segédlet a RobonAUT verseny szabályozástechnikai szemináriumához

Kiss Domokos, Kolumbán Sándor

BME Automatizálási és Alkalmazott Informatikai Tanszék

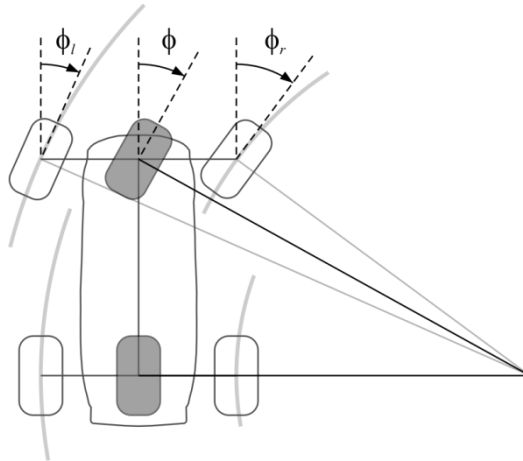
2016. szeptember

Tartalomjegyzék

1	Bevezető.....	2
2	A kerékpármodell mozgásegyenlete	2
3	Egyszerű vonalérzékelési modell.....	4
4	Orientációs vonalérzékelési modell	5
5	A vonalérzékelő szenzorsor elhelyezésének hatása.....	9
6	A modell linearizálása.....	10
6.1	Egyszerű modell.....	10
6.2	Orientációs modell	11

1 Bevezető

A négykerekű, kormányzott autók – így a RobonAUT-on használt autómodell is – Ackermann-kormányzással rendelkeznek. Ennek lényege, hogy kanyarodáskor a két első, kormányzott kerék kormányyszöge eltér annak érdekében, hogy a kerekek csúszásmentesen, koncentrikus pályákon fussanak. Jelen esetben az Ackermann-modellnek a kinematikai szempontból előnyös **kétkerekű helyettesítését** – az ún. kerékpármodellt – használjuk (ld. 1. ábra).



1. ábra – Ackermann-modell és kerékpármodell

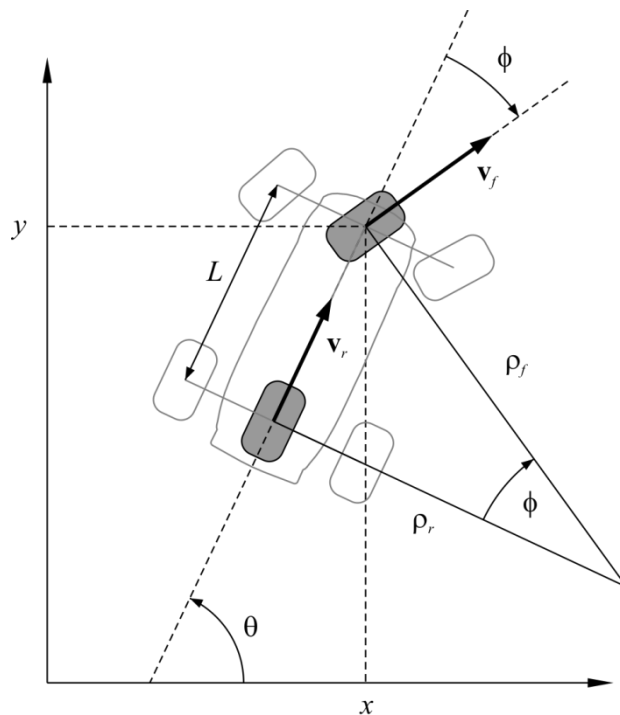
A kerékpármodellben az első, ill. a hátsó tengelyen lévő két-két kereket egy-egy, tengelyközéppontba helyezett virtuális kerekkel helyettesítjük¹, melyek az eredeti kerekkel koncentrikus pályákon futnak. A kerékpármodell aktuális ϕ kormányyszögének ismeretében egyértelműen megadható a két valós első kerék ϕ_l és ϕ_r kormányyszöge, illetve a virtuális kerekek kerületi sebességeinek ismeretében egyszerűen számítható mind a négy kerék sebessége.

2 A kerékpármodell mozgásegyenlete

Első célunk a kerékpármodell (kinematikai) mozgásegyenletének felírása, mely megteremti a kapcsolatot a meghajtott kerék sebessége és a kormányyszög (mint bemenet), valamint az autó pozíciója és orientációja (mint kimenet) között. Tegyük fel, hogy az autó hátsókerék-meghajtással rendelkezik, referenciapontja pedig az első keréktengely középpontja. A mozgásegyenlet felírásához a 2. ábra jelöléseit használjuk:

ϕ :	Kormányyszög (bemenet)
\mathbf{v}_r :	A hátsó kerék kerületi sebessége (bemenet)
\mathbf{v}_f :	Az első kerék kerületi sebessége
ρ_r :	A hátsó kerék fordulási sugara
ρ_f :	Az első kerék fordulási sugara
L :	Az első és a hátsó keréktengely távolsága
(x, y, θ) :	A robot pozíciója és orientációja (kimenet)

¹ A virtuális kerekeket a továbbiakban egyszerűen csak első és hátsó kerékként említjük.



2. ábra – Kinematikai felírás

Induljunk ki abból a fizikából jól ismert tényből, hogy egy merev test minden pontjának megegyezik a szögsebessége. Ennek megfelelően a hátsó és első tengelyközéppontokra felírhatjuk:

$$\omega_r = \omega_f \rightarrow \frac{v_r}{\rho_r} = \frac{v_f}{\rho_f}, \quad (1)$$

ahol v_r ill. v_f az hátsó ill. első kerék előjeles kerületi sebesség-nagyságát jelöli (amely pozitív, ha előrefelé, és negatív, ha hátrafelé irányuló mozgásról van szó). A hátsó és az első kerék fordulási sugarának aránya az ábráról leolvasható:

$$\frac{\rho_r}{\rho_f} = \cos \phi \quad (2)$$

A fenti két egyenletből behelyettesítés és átrendezés után megkapjuk az összefüggést az első és a hátsó kerék kerületi sebessége között:

$$v_r = v_f \cos \phi \quad (3)$$

Szintén leolvasható az ábráról a következő összefüggés az első kerék fordulási sugarának meghatározásához:

$$\rho_f = \frac{L}{\sin \phi} \quad (4)$$

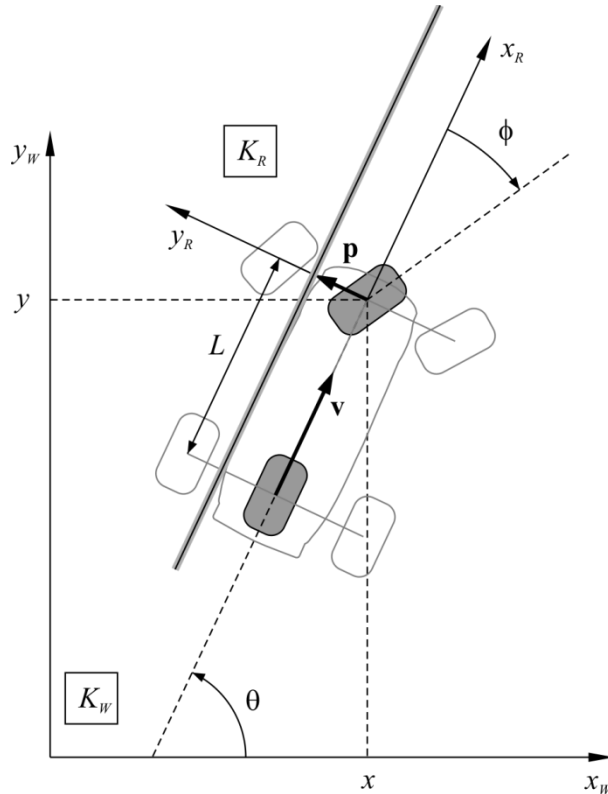
Az ábra alapján a fenti összefüggések felhasználásával adódnak a következő mozgásegyenletek:

$$\begin{aligned}
\dot{x} &= v_f \cos(\theta + \phi) = v_r \frac{\cos(\theta + \phi)}{\cos \phi} \\
\dot{y} &= v_f \sin(\theta + \phi) = v_r \frac{\sin(\theta + \phi)}{\cos \phi} \\
\dot{\theta} &= \omega_f = \frac{v_f}{\rho_f} = v_f \frac{\sin \phi}{L} = \frac{v_r}{\cos \phi} \frac{\sin \phi}{L} = v_r \frac{\tan \phi}{L}
\end{aligned} \tag{5}$$

3 Egyszerű vonalérzékelési modell

Az autó mozgásegyenletét a K_W világ-koordináta-rendszerben adtuk meg. A további összefüggések felírásához szükségünk lesz egy másik, robotoz (ill. autóhoz) rögzített K_R koordináta-rendszerre is, amelyet úgy veszünk fel, hogy origója az autó referenciapontjával essen egybe, x-tengelye pedig az autó hossz tengelyével legyen párhuzamos, és a pozitív haladási irányba (előre) mutasson (ld. 3. ábra).

Az egyszerű vonalérzékelési modellnél azt feltételezzük, hogy a vezetővonal és az első keréktengely – K_R y-tengelye – metszéspontját tudjuk detektálni egy vonalérzékelő szenzorsorral (ez minden információnk a vonalról). Ezt a metszéspontot a továbbiakban *vonalerzékelési pont*nak nevezzük. A vezetővonalat végtelen hosszúságú egyenessel modellezzük, amely minden pillanatban párhuzamos K_R x-tengelyével (a vezetővonal orientációja ismeretének hiányában ez a legegyszerűbb feltételezés, amivel élhetünk).



3. ábra – Egyszerű vonalérzékelési modell

Jelöljük \mathbf{p} -vel a K_R origójából a vonalerzékelési pontba mutató vektort, p -vel pedig ennek az előjeles hosszát (más szóval a vonalerzékelési pont K_R -beli y-koordinátáját). Célunk, hogy felírjuk a

vonalérzékelési pont mozgását K_R -ben a v_r hátsókerék-sebesség (a továbbiakban alsó index nélkül, egyszerűen csak v -vel jelöljük) és a ϕ kormányaszög függvényében.

Éljünk az $x, y, \theta = 0$ választással², ekkor a mozgásegyenletből adódik, hogy

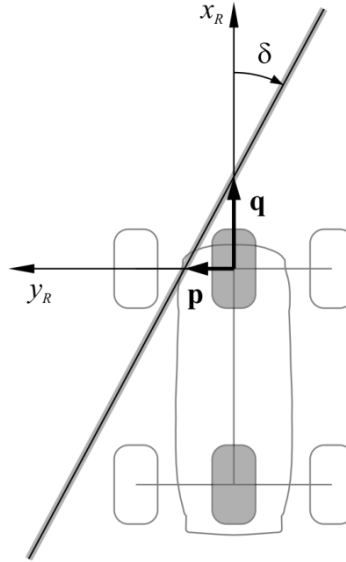
$$\dot{y} = v \cdot \tan \phi. \quad (6)$$

Mivel a vezetővonal K_W -ben rögzített, a vonalérzékelési pont K_R -beli pillanatnyi elmozdulása (p megváltozása) éppen ellentettje a robot K_W -beli y -irányú pillanatnyi elmozdulásának (y megváltozásának). Így tehát a p érzékelt vonalpozíció „mozgásegyenlete” K_R -ben felírva:

$$\dot{p} = -\dot{y} = -v \cdot \tan \phi \quad (7)$$

4 Orientációs vonalérzékelési modell

A vezetővonal párhuzamosságára vonatkozó feltevés elég durva közelítésnek tekinthető. Ennek illusztrálására tekintsük a 4. ábrát. A vezetővonal az autó hossz tengelyével $\delta \neq 0$ szöget zár be, a kormányaszög nulla.



4. ábra – A vezetővonal orientációjának hatása

Ebben az esetben az egyszerű modell szerint bármilyen v sebesség mellett $\dot{p} = 0$, vagyis a vonalérzékelési pontnak nem kellene mozognia az y -tengelyen, ami nyilván nem lesz igaz. Jelölje a vezetővonal K_R -beli y - és x -tengelymetszeteibe mutató vektorokat \mathbf{p} és \mathbf{q} , a metszetek koordinátáit (a vektorok előjeles hosszát) p és q . Ezekre az ábra alapján teljesül, hogy

$$p = -q \cdot \tan \delta \quad (8)$$

Idő szerint deriválva:

$$\dot{p} = -\dot{q} \cdot \tan \delta \quad (9)$$

² Az általánosság veszélyeztetése nélkül alkalmazhatunk egy olyan koordináta-transzformációt, melynek során a világ-koordinátarendszert úgy választjuk meg, hogy a vizsgált pillanatban éppen egybeessen a robot koordinátarendszerével.

Mivel a K_R koordináta-rendszer (az autóval együtt) v sebességgel pozitív x -irányba halad, a vezetővonal x -tengelymetszete K_R -ből nézve éppen ellenkező irányba mozog ugyanazon sebességgel, vagyis

$$\dot{q} = -v \quad (10)$$

és ebből

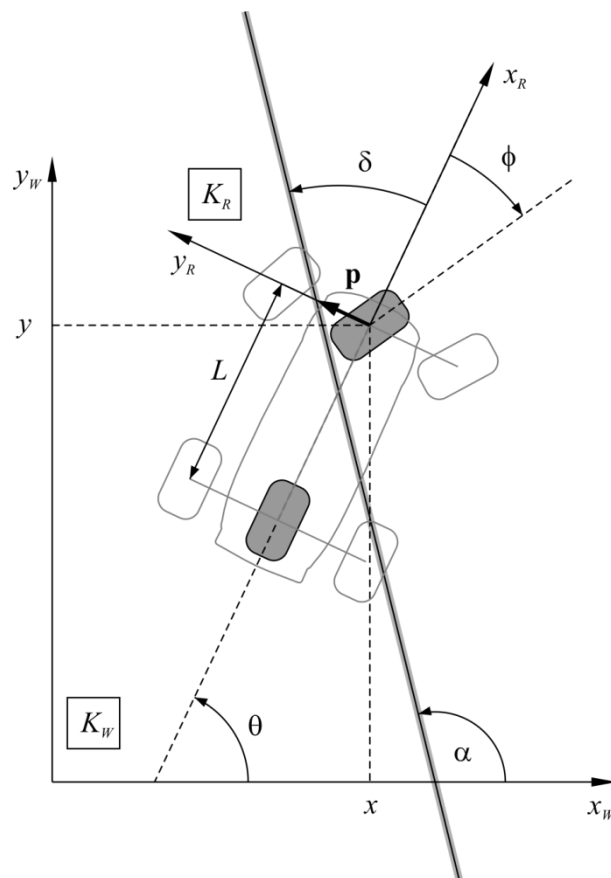
$$\dot{p} = v \cdot \tan \delta, \quad (11)$$

ami alakjában hasonlóságot mutat az egyszerű vonalérzékelési modellnél kapott eredménnyel. Összefoglalva az eddig kapott összefüggéseket \dot{p} -ra:

Egyszerű vonalérzékelési modell	$\phi \neq 0, \delta = 0$	$\dot{p} = -v \cdot \tan \phi$
Egyenes haladás, ferde vezetővonal	$\phi = 0, \delta \neq 0$	$\dot{p} = v \cdot \tan \delta$

Az orientációs vonalérzékelési modell esetében feltesszük, hogy tudjuk érzékelni a vezetővonalnak a p pozícióján kívül az autó hossz tengelyéhez képesti δ orientációját is, és ennek hatását is figyelembe vesszük p „mozgásegyenletének” felírásakor. Első ötletként felmerülhet a fenti két hatás összegzése, ami viszonylag egyszerű eredményre vezetne, melyben p megváltozása arányos a sebességgel és a két szög (δ és ϕ) tangensének különbségével. Azonban nemlineáris rendszereknél óvatosan kell bánnunk a szuperpozíció elvének gondolkodás nélküli alkalmazásával.

A speciális esetekre vonatkozó eredmények egyszerű összegzése helyett vezessük le az általános esetre (δ és ϕ egyike sem nulla) vonatkozó mozgásegyenletet az 5. ábra segítségével.



5. ábra – Orientációs vonalérzékelési modell

Először határozzuk meg a vezetővonal K_R -ben érzékelt δ orientációjának alakulását az autó mozgása közben. A vezetővonal K_W -beli α orientációjára igaz, hogy

$$\alpha = \theta + \delta = konst., \quad (12)$$

mivel a vonal rögzített K_W -ben. Ebből δ időbeli alakulására az (5) mozgásegyenlet felhasználásával az alábbi összefüggés adódik:

$$\dot{\theta} + \dot{\delta} = 0, \quad (13)$$

$$\dot{\delta} = -\dot{\theta} = -v \frac{\tan \phi}{L}. \quad (14)$$

A következőkben határozzuk meg a vezetővonal p pozíciójának „mozgásegyenletét”. Ehhez írjuk fel a vezetővonal egyenesének egyenletét mindkét koordináta-rendszerben:

$$\boxed{K_R}: \quad y_R = \tan \delta \cdot x_R + p \quad (15)$$

$$\boxed{K_W}: \quad y_W = \tan \alpha \cdot x_W + y_{W,0} \quad (16)$$

A jelölések értelmezése a következő:

x_R, y_R :	Az egyenes egy tetszőleges pontjának K_R -beli koordinátái
x_W, y_W :	Az egyenes egy tetszőleges pontjának K_W -beli koordinátái
$\tan \delta$:	Az egyenes K_R -beli meredeksége
$\tan \alpha = \tan(\theta + \delta)$:	Az egyenes K_W -beli meredeksége
p :	Az egyenes y -tengelymetszete K_R -ben
$y_{W,0}$:	Az egyenes y -tengelymetszete K_W -ben

Adjuk meg a K_R és K_W közötti koordinátatranszformációt (a robot x, y, θ helyzetének ismeretében):

$$\begin{bmatrix} x_W \\ y_W \\ 1 \end{bmatrix} = \begin{bmatrix} \cos \theta & -\sin \theta & x \\ \sin \theta & \cos \theta & y \\ 0 & 0 & 1 \end{bmatrix} \cdot \begin{bmatrix} x_R \\ y_R \\ 1 \end{bmatrix} \quad (17)$$

Skaláris formában:

$$\begin{aligned} x_W &= x_R \cos \theta - y_R \sin \theta + x \\ y_W &= x_R \sin \theta + y_R \cos \theta + y \end{aligned} \quad (18)$$

Helyettesítsünk be a vonal K_W -ben felírt egyenletébe:

$$x_R \sin \theta + y_R \cos \theta + y = \tan \alpha \cdot (x_R \cos \theta - y_R \sin \theta + x) + y_{W,0} \quad (19)$$

Mivel a vezetővonal és K_R y -tengelyének metszéspontját vizsgáljuk, ezért $x_R = 0$ és $y_R = p$ helyettesítéssel:

$$p \cos \theta + y = \tan \alpha \cdot (-p \sin \theta + x) + y_{W,0} \quad (20)$$

$$p(\cos\theta + \tan\alpha \cdot \sin\theta) = \tan\alpha \cdot x - y + y_{w,0} \quad (21)$$

$$p = \frac{\tan\alpha \cdot x - y + y_{w,0}}{\cos\theta + \tan\alpha \cdot \sin\theta} \quad (22)$$

Deriváljuk az összefüggést idő szerint:

$$\dot{p} = \frac{(\tan\alpha \cdot \dot{x} - \dot{y}) \cdot (\cos\theta + \tan\alpha \cdot \sin\theta) - (-\sin\theta \cdot \dot{\theta} + \tan\alpha \cdot \cos\theta \cdot \dot{\theta}) \cdot (\tan\alpha \cdot x - y + y_{w,0})}{(\cos\theta + \tan\alpha \cdot \sin\theta)^2} \quad (23)$$

Az általánosság elvesztése nélkül tegyük fel, hogy az adott pillanatban K_w és K_R egyállásúak, és origójuk egybeesik (más szóval $x, y, \theta = 0$). Ekkor (12) és (22) alapján $\alpha = \delta$ és $y_{w,0} = p$, melyek behelyettesítésével \dot{p} összefüggése a következő alakot ölti:

$$\dot{p} = \tan\delta \cdot \dot{x} - \dot{y} - \tan\delta \cdot \dot{\theta} \cdot p \quad (24)$$

$x, y, \theta = 0$ esetében a mozgásegyenlet (5) alakja:

$$\begin{aligned} \dot{x} &= v \\ \dot{y} &= v \cdot \tan\phi \\ \dot{\theta} &= v \cdot \frac{\tan\phi}{L} \end{aligned} \quad (25)$$

Ezt behelyettesítve (24)-be:

$$\dot{p} = v \cdot \tan\delta - v \cdot \tan\phi - v \cdot \frac{p}{L} \cdot \tan\delta \cdot \tan\phi \quad (26)$$

Összegezve, az orientációs modellben a vonalérzékelési pont „mozgásegyenlete”:

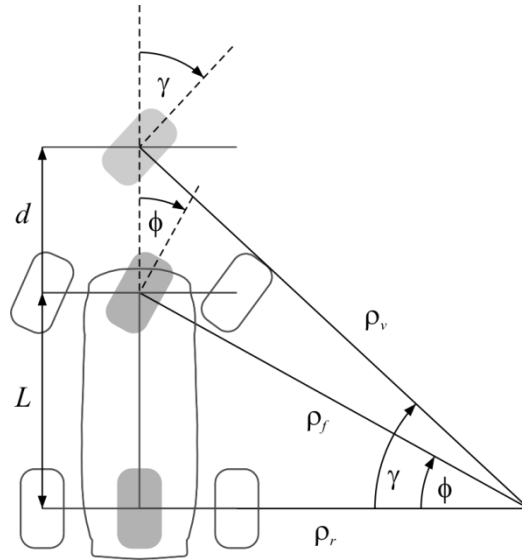
$$\boxed{\begin{aligned} \dot{p} &= v \cdot \left(\tan\delta - \tan\phi - \frac{p}{L} \cdot \tan\delta \cdot \tan\phi \right) \\ \dot{\delta} &= -\dot{\theta} = -v \frac{\tan\phi}{L} \end{aligned}} \quad (27)$$

Vegyük észre, hogy $\delta = 0$, ill. $\phi = 0$ választása mellett \dot{p} kifejezése visszaadja a (7), ill. (11) speciális eseteket. Azonban e speciális esetektől eltekintve megjelenik egy harmadik tag is, amely szerint p megváltozása függ magától a p értékétől is.

Fontos megjegyeznünk, hogy bár az orientációs vonalérzékelési modell az egyszerű modellnél sokkal pontosabban írja le a vonal mozgását az autóhoz képest, még tovább finomítható. Azt feltételezi ugyanis, hogy a ϕ kormányşög (mint bemenet) ugrásszerűen megváltoztatható, ami a fizikai valóságban sohasem igaz. A modell kibővíthető úgy, hogy figyelembe vegye ϕ dinamikáját, de ezt már az érdeklődő olvasóra bízuk.

5 A vonalérzékelő szenzorsor elhelyezésének hatása

Az előzőekben feltettük, hogy a vezetővonalat érzékelő szenzorsort az első keréktengely vonalában helyezzük el. Ez egy önkényes választás volt, mechanikai és egyéb szempontok indokolhatják, hogy a valóságban ne itt, hanem a keréktengellyel párhuzamosan, de előrébb vagy hátrébb helyezkedjen el a vonalérzékelő. Vizsgáljuk meg ennek a hatását a 6. ábra segítségével!



6. ábra – A vonalszenzor elhelyezésének hatása

A valós szenzorsor és az első keréktengely előjeles távolságát jelölje d . Képzeljünk el egy újabb virtuális kereket a szenzorsor közepénél, amely szintén koncentrikus pályán fut a többi kerékkel. Az általa bejárt pálya görbületi sugara ρ_v , az ehhez tartozó virtuális kormányyszög γ . az ábrából következik, hogy

$$\tan \phi = \frac{L}{\rho_r}, \quad \tan \gamma = \frac{L+d}{\rho_r}. \quad (28)$$

Ez alapján

$$\frac{L}{\tan \phi} = \frac{L+d}{\tan \gamma}, \quad (29)$$

$$\tan \gamma = \tan \phi \frac{L+d}{L}. \quad (30)$$

Tehát a vonalérzékelő szenzorsor áthelyezése csupán annyit jelent, hogy egy másik, az eredetivel ekvivalens kerékpármodellt használunk, melyben a tengelytáv L helyett $L+d$, a kormányyszög pedig ϕ helyett γ . A két kormányyszög közötti összefüggés a két tengelytáv arányából számítható a (30) egyenletben megadott módon.

Vegyük észre, hogy a szenzorsor előre felé tolásával (a hátsó tengelytől való távolításával) a virtuális γ kormányyszög nő. Mivel a kormányyszög, mint beavatkozó jel mechanikailag korlátozott, ez telítést fog jelenteni a szabályozási körben. A szenzorsor jó elhelyezésével ez a korlátozott szögtartomány virtuálisan kibővíthető, ami hasznos lehet a szabályozás felépítésekor.

6 A modell linearizálása

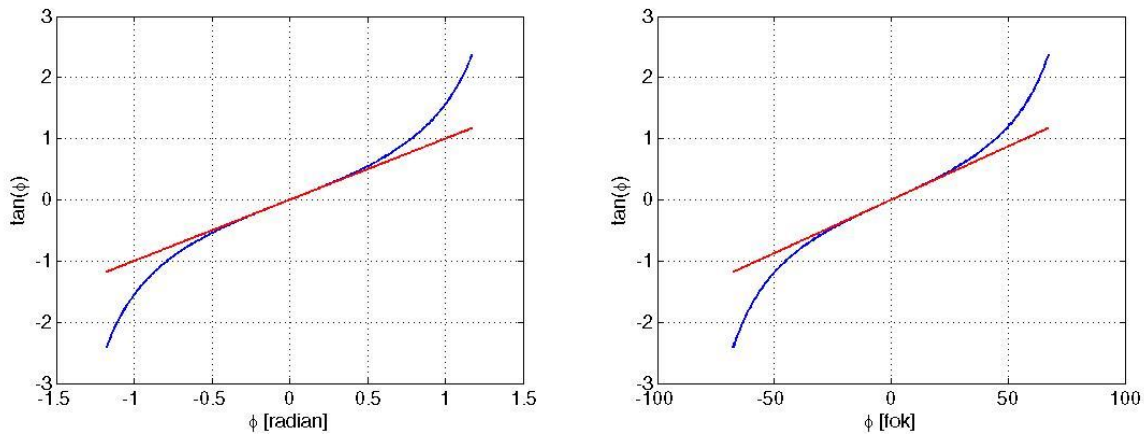
A fentiekben levezetett nemlineáris modellt használva nem tudunk az alap szabályozástechnika eszközeivel szabályozó algoritmust tervezni, illetve kiértékelni. A célunk az, hogy lehetőleg a vonalon állva ($p = 0$), az autót a vonallal párhuzamosan tartva ($\delta = 0$) és egyenesen előre álló kormányval ($\phi = 0$) haladjon az autó. Ha minden jól megy, akkor ebből az állapotból indulunk majd és csak kis eltérések fordulnak majd elő, amiket gyorsan kompenzálunk, tehát nem is igazán hagyjuk el ennek a munkapontnak a környékét. Ez persze nem így lesz, de reménykedni lehet.

Felhasználva, hogy

$$\tan(x + \Delta x) \approx \tan(x) + \frac{1}{\cos^2(x)} \Delta x$$

az előzőekben levezetett nemlineáris differenciálegyenleteket linearizálni lehet (az elhanyagolt hiba Δx^2 nagyságrendű, ami remélhetőleg már lényegtelen).

Nézzük meg, hogy ez a lineáris közelítés mennyire használható a 0 környékén.



Látható, hogy 30-40 fokok eltérésig nem is olyan rossz a közelítés. Utána azért drasztikusan romlik a helyzet.

6.1 Egyszerű modell

$$\dot{p} = -v \tan(\phi)$$

Használva, hogy $\tan(0) = 0$ és $\cos(0) = 1$ a fenti egyenletek a következő formára egyszerűsödnek a választott munkapontunk környékén.

$$0 + \Delta \dot{p} \approx -v \left(\tan(\phi) + \frac{1}{\cos^2(\phi)} \Delta \phi \right)$$

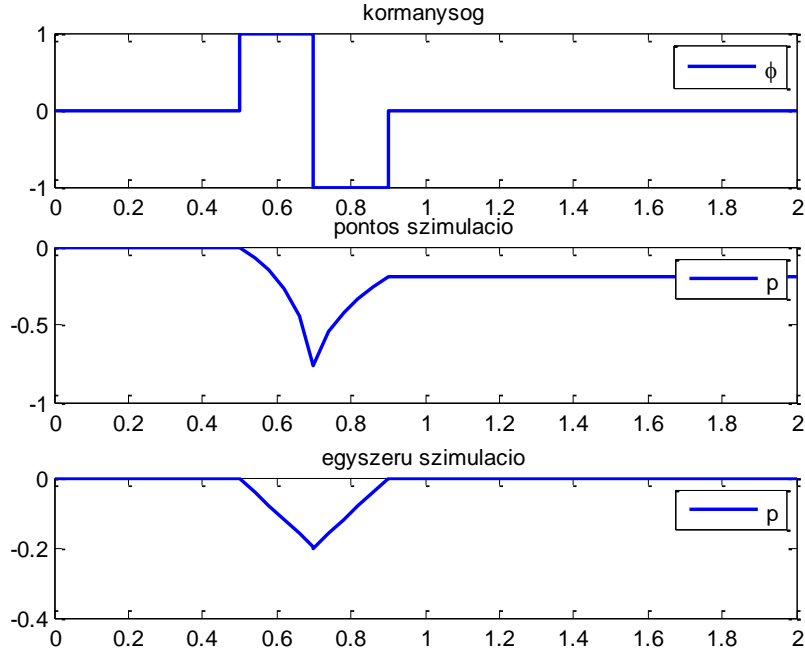
$$\Delta \dot{p} \approx -v \left(0 + \frac{1}{1} \Delta \phi \right)$$

$$\Delta \dot{p} \approx -v \Delta \phi$$

Ebből az egyenletből látszik, hogy a vonal távolságát egyszerűen a kormánysszög integráljával közelítjük. Átviteli függvényként felírva, a kormánysszög és a vonaltávolság közti átvitel az egyszerű modellben

$$P_e(s) = -v \frac{1}{s} \Phi(s)$$

Nézzük meg, hogy ez a modell mennyire adja vissza a valóságot.



A fenti ábrán az első jel a kormánysszöveget mutatja, egy ideig balra tekerjük a kormányt valamennyire, majd ugyanennyit vissza jobbra. A második ábra ennek hatására a vonaltávolságot mutatja a pontos modellt használva. Világos, hogy a vonal egy kicsit jobbra fog az autótól elhelyezkedni ez után a manőver után, az autó pedig a vonallal párhuzamosan fog haladni. Ez a jelenséget az egyszerű modell nem tudja jól visszaadni, valamint a vonaltávolság dinamikájának is más a formája. A részletes szimuláció esetén, ahogy az autó fordul el a vonaltól, egyre gyorsabban nő a vonaltól való távolság. Ezt a nemlineáris jelleget az egyszerű modell egyáltalán nem ragadja meg. A másik szignifikáns hiányosság, hogy az egyszerű modell alapján az autónak vissza kéne állnia a vonalra, ami nyilván nem igaz.

A továbbiakban ezzel a modellel nem is dolgozunk, annyira gyengének ítéljük meg.

6.2 Orientációs modell

$$\dot{\delta} \approx -\frac{v}{L} \left(\tan(\phi) + \frac{1}{\cos^2(\phi)} \Delta\phi \right)$$

$$\dot{p} \approx v \left(\tan(\delta) + \frac{1}{\cos^2(\delta)} \Delta\delta - \tan(\phi) - \frac{1}{\cos^2(\phi)} \Delta\phi - \frac{p}{L} \left(\tan(\delta) + \frac{1}{\cos^2(\delta)} \Delta\delta \right) \left(\tan(\phi) + \frac{1}{\cos^2(\phi)} \Delta\phi \right) \right)$$

Használva, hogy $\tan(0) = 0$ és $\cos(0) = 1$, a fenti egyenletek a következő formára egyszerűsödnek a választott munkapontunk környékén.

$$\begin{aligned} \dot{\delta} &\approx -\frac{v}{L} \left(0 + \frac{1}{1} \Delta\phi \right) \\ \dot{p} &\approx v \left(0 + \frac{1}{1} \Delta\delta - 0 - \frac{1}{1} \Delta\phi - \frac{p}{L} \left(0 + \frac{1}{1} \Delta\delta \right) \left(0 + \frac{1}{1} \Delta\phi \right) \right) \end{aligned}$$

Mivel a $p = 0$ munkapontot választottuk, ezért az aktuális p érték mindig $0 + \Delta p$ alakban írható. Így $\dot{p} = (0 + \Delta \dot{p}) = \dot{\Delta p}$. Ez lehetővé teszi, hogy az eredeti változóink helyett azok munkaponttól való eltérést használjuk új változónak (lásd lineáris változócsere integrálok számításánál). Így a változócsere utáni egyenleteink az alábbiak lesznek.

$$\Delta\dot{\delta} \approx -\frac{v}{L}\Delta\phi$$

$$\Delta\dot{p} \approx v\left(\Delta\delta - \Delta\phi - \frac{p}{L}(\Delta\delta)(\Delta\phi)\right)$$

Lineáris modellt szeretnénk kapni, ezért a megjelenő $(\Delta\delta)(\Delta\phi)$ kvadratikus tagot is elhanyagoljuk (ahogy a $\tan(x)$ sorfejtéséből is elhanyagoltuk a négyzetes és magasabb rendű tagokat). Valamint a sok Δ írását is unjuk, ezért elhagyjuk. Ez a nulla munkaponti értékek miatt ráadásul még jelentésbeli problémát sem okoz. Elfelejtve, hogy közelítő egyenleteink vannak, a linearizált modell egyenletei az alábbiak.

$$\dot{\delta} = -\frac{v}{L}\phi$$

$$\dot{p} = v(\delta - \phi)$$

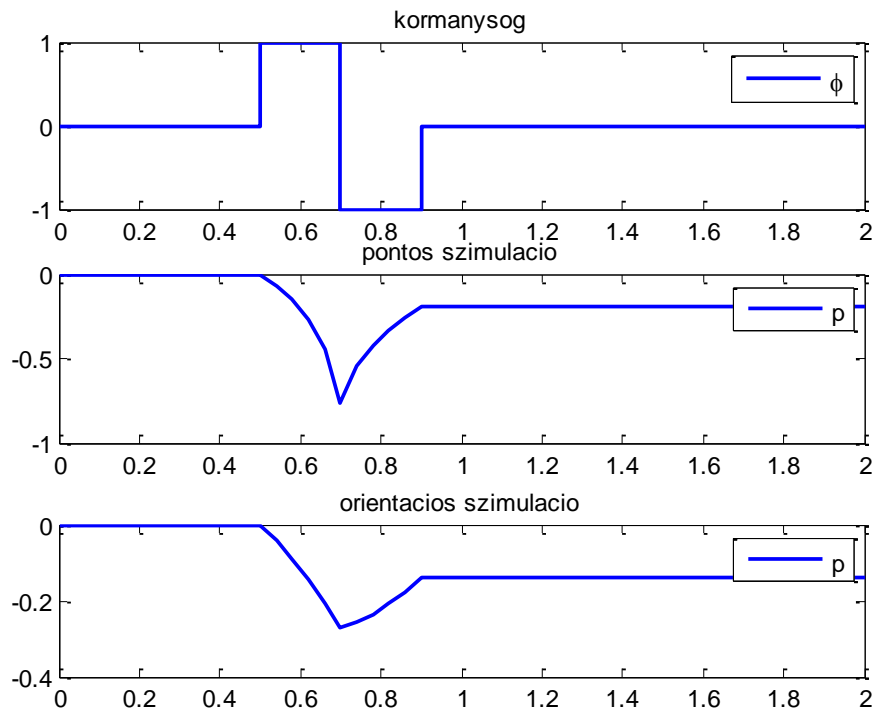
Ez a rendszer leírható az alábbi állapotegyenletekkel

$$\begin{bmatrix} \dot{\delta} \\ \dot{p} \end{bmatrix} = \begin{bmatrix} 0 & 0 \\ v & 0 \end{bmatrix} \begin{bmatrix} \delta \\ p \end{bmatrix} + \begin{bmatrix} -v/L \\ -v \end{bmatrix} \phi \quad p = [0 \quad 1] \begin{bmatrix} \delta \\ p \end{bmatrix} + 0\phi \quad \delta = [1 \quad 0] \begin{bmatrix} \delta \\ p \end{bmatrix} + 0\phi$$

Ha átviteli függvény alakban szeretnénk felírni a kormánysszög és a vonaltávolság közti átvitelt, akkor

$$P_o(s) = -\frac{vs + \frac{v^2}{L}}{s^2}$$

alakú átviteli függvényt kapunk. Nézzük meg, hogy ez modell hogyan viselkedik az előbbi szituációban.



Láthatóan egy sokkal jobb modellt kaptunk. Ugyan a távolság változásának dinamikája még mindig nagyon más a szimulált és a közelítő modell által adott ábrákon, azt a tulajdonságot azonban már hozza a modell, hogy ez a modell szintén vonallal párhuzamos haladást jelez előre, a vonaltól való távolság értékében természetesen téved, de ez az elhanyagolások miatt érthető.